

### III-88 支持杭の載荷試験における沈下特性について

鹿島建設技術研究所 正員 ○ 永田慧

#### 1 はじめに

載荷試験における鉛直荷重と杭頭の沈下量についてはいくつかの関係式が提案されており、また粘土中の摩擦杭の沈下特性については、京大村山教授等の研究があるが、杭の沈下特性全般については明らかにされていない面が多い。この報文では過去における載荷試験結果のいくつかについて杭頭の沈下量を(1)各載荷段階において所定の載荷量に達した時点の沈下量と(2)同一荷重持続中の沈下量とに分けた場合のそれぞれの沈下特性について現象解析した結果について述べる。

#### 2 載荷試験データーおよび解析方法

ここでは30例の載荷試験データーを使用した。これらの大部分は支持杭として分類されるものであり、杭種の内訳は鋼杭11例、大口径場所打ちコンクリート杭6例、RC杭3例、木杭10例であった。試験方法は主として、「丸太荷重に対しては、その段階の荷重による沈下が事实上停止したと認められるまで同一荷重を持続する」という標準的な載荷方法によるものである。なお、30例のうち試験時に降伏荷重に達したのが10例ある。解析方法は、沈下記録を(1)各段階の増加荷重 $\Delta P$ を載荷(または除荷)し、所定の載荷量に達した時点で生じた沈下量 $\Delta S_1$ と、(2)増加荷重 $\Delta P$ を載荷(または除荷)した後、同一荷重を持続させていき間に生じた沈下量 $\Delta S_2$ とに分離した。次にこれらを別々に統計して $S_1 \sim P$ 関係図および $S_2 \sim P$ 関係図を作成して荷重 $P$ の増加に伴う $S_1$ および $S_2$ の増加率、 $S_1$ と $S_2$ との比および除荷時における $S_1$ および $S_2$ の回復率等を調べた。(図-1参照)

#### 3 結果および検討

解析結果によると、一連の載荷試験におけるデーターについての $S_1 \sim P$ 関係と $S_2 \sim P$ 関係とでは、その特性が著しく異なっている。結果の一例を図-2および図-3に示した。全般についての検討結果は次のとおりであった。

##### 1)荷重 $P$ の増加に伴う $S_1$ および $S_2$ の増加率

ここでは、京都工芸繊維大山肩助教授等の表示に従い、 $S = a \cdot P^n$ ( $a, n$ :定数)とした場合の $n$ を $S_1$ および $S_2$ について調べたところ、 $S_1$ については、 $n = 1 \sim 1.5$ であるのに対し、 $S_2$ については、 $n = 1 \sim 4$ であった。実際、図-2にみられるように、 $S_1$ と $P$ とは直線( $n = 1$ )関係となっている例が多く、たのに対し、図-3にみられるように $S_2$ は $P$ の増加に従い急激に大きくなる傾向がみられた。

##### 2) $S_1$ と $S_2$ との比

$S_2$ と $S_1$ との比 $m$ を各試験例における最大荷重 $P_{max}$ および $\frac{1}{2} \times P_{max}$ の荷重について求めた結果は次のとおりである。すなわち、 $m$ の値は、0.1～2の間にバラついていたが、 $\frac{1}{2} \times P_{max}$ では 大部分が $m < 0.5$ (平均値 0.44)であり、これに対し $P_{max}$ では、大部分が $m > 0.5$ (平均値 0.93)であつた。

##### 3)除荷時ににおける $S_1$ および $S_2$ の回復率

除荷時の $S$ を $S^0$ と表示して、除荷による沈下の回復量、 $S - S^0$ と沈下量 $S$ との比率 $\alpha$ を求め、図-1

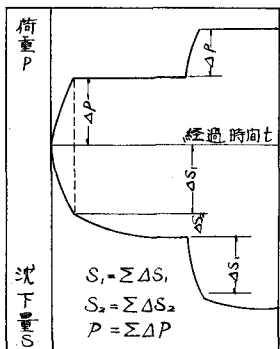


図-1 説明図

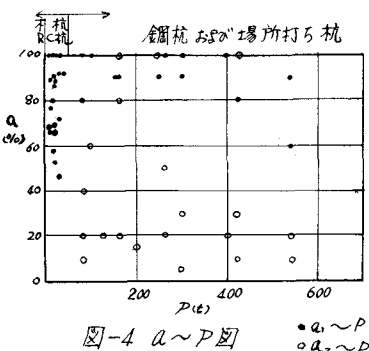


図-4  $a \sim P$  図

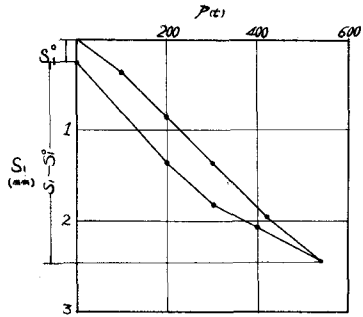


図-2  $S_1 \sim P$  図

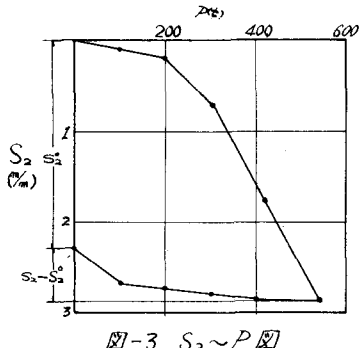


図-3  $S_2 \sim P$  図

4に示した。図中・印は $S_1$ に関する値( $a_1$ )であり、また○印は $S_2$ に関する値( $a_2$ )である。これらの図によると鉛杭およびRC杭では、 $a_1$ が100%近くほっているのにに対し、 $a_2$ は20%程度と小さくなっている。以上1)~3)の結果を総合すると、一般に載荷直後に生じる沈下量 $S_1$ は、荷重 $P$ にはほぼ比例して増加し、また除荷においてその大部分が回復するのに対し、 $S_2$ は $P$ の増加にしたがい急激に増加し、またその大部分は除荷後も回復していない。すなわち、載荷直後の沈下は弾性的であり、同一荷重持続中の沈下は塑性的であることがわかる。なお、試験中、降伏荷重に達した10例について1)~3)の検討を加えた結果は次のとおりである。すなわち、降伏荷重以上では2)のmの値は、1~2と大きくはてており、また、3)の $a_1$ の値は100%から50%程度に低下したものと100%にとどまったものが半々であった。以上の結果を総合すると次のようになる。一般に載荷試験により永久荷重に対する将来予想される杭の沈下量 $E_S = S_1 + S_2$ を推定するには、 $S_2$ を正確に把握する必要があり、従って、載荷試験は十分時間をかけて行なうことが望ましく、又、急速な載荷により $S_1$ のみ測定した場合は前述のmの値等により $S_2$ を推定して将来の沈下量 $E_S$ を算定する必要があると思われる。

#### 4 ひずみ

今回の検討は30例と数が少ないが、今後さらに多くのデータについて杭応力を含めて解析を行ない、杭の沈下特性の一端を明らかにする考えである。

#### 参考文献

- 1) 山角邦男; 支持杭の載荷試験における降伏荷重の力学的意義に関する考察 (第一報)  
日本建築学会論文報告集 79号, 1962
- 2) 藤田圭一; 杭打ち技術ノート (P-125) 日刊工業新聞社
- 3) 村山湖郎; 藤田徹; 施工中の摩擦杭の支持力ヒストリカル測定法, 土木学会論文集第59号, 1958